

国外儀表電訊

# 晶体管电路

JINGTIGUAN DIANLU

(1)

上海市仪表电讯技术情报所

15.1010217  
116,

## 编者的话

在无产阶级文化大革命强劲东风推动下，二极管、晶体管等半导体器件已广泛地应用在工业、农业、交通运输业、医疗卫生、国防、科研、文教等部门。为了配合半导体器件在各方面的应用，我们遵照毛主席关于“洋为中用”的教导，从国外近期杂志上收集了一些有关晶体管电路的文章编译成册。我们打算今后陆续收集汇编这方面的资料，因此，本集定名为“晶体管电路(1)”。

由于我们水平有限，对国内半导体器件的产品水平和应用情况了解不深，在选题、译文质量、编排方面可能有不少的缺点和错误，希望广大读者提出宝贵意见！

编 者

1974年3月30日

## 目 录

### 电 源

连续开关式直流稳压器	( 1 )
用低压齐纳二极管构成的高压稳定电路	( 10 )
使击穿电压倍增的共射-共基晶体管电路	( 12 )
固体双刀双掷电流换向开关	( 15 )
多路电压保护电路	( 18 )
MOS电源变换器	( 20 )
装有隧道二极管的电流开关的灵敏度	( 22 )

### 振 荡 电 路

由程序单结晶体管构成的不稳多谐振荡器	( 25 )
可编程序的多用多谐振荡器	( 27 )
电源范围宽广的稳定晶控振荡器	( 30 )
由廉价单结晶体管构成的振荡器	( 32 )
输出为 4 安的毫微秒脉冲发生器	( 33 )

### 变 换 器

用四层二极管构成的压频变换器	( 35 )
简单的0.01级压频变换器	( 37 )
高输入阻抗双极性压频变换器	( 42 )
-振幅-时间变换器	( 45 )

## 放大电路

- 增益大于 1 的反馈隔离放大器 ..... (50)  
场效应晶体管对的应用电路 ..... (53)

## 其他电路

- 由计数器改装成的电容计 ..... (55)  
大规模集成电路测试用的精密比较电路 ..... (57)  
坚固可靠的汽车点火装置 ..... (61)  
温度补偿用的集成晶体管电路 ..... (64)  
电容传感测量系统 ..... (66)  
场效应晶体管有源平衡混频器 ..... (68)  
多用同步电路 ..... (83)  
大功率可控矩形电流脉冲发生器 ..... (88)  
六路电子移相器 ..... (91)  
数控电子开关 ..... (96)  
声电平压缩用的自动增益控制电路 ..... (101)  
心电图检测器 ..... (109)  
合适的扫描电路 ..... (112)  
低频场效应晶体管电路 ..... (117)  
(88) ..... 音量控制中音量调节器设计与制作

## 器 制 造

- (38) ..... 器制变阻器的制作与应用  
(39) ..... 器制变阻器10.0Ω单臂  
(40) ..... 器制变阻器的制作与应用  
(41) ..... 器制变阻器-副录

# 连续开关式直流稳压器\*

与连续稳压器中采用调节元件的线性工作方式一样<sup>[1]</sup>，半导体稳压器中广泛采用开关工作方式（脉冲稳压器或开关稳压器<sup>[2]</sup>）。在一系列质量指标方面（脉动系数、稳定系数、动态准确度和动作速度），连续稳压器优于开关稳压器；而在很多情况下起决定作用的参数方面（效率、外形尺寸、重量、可靠性等），开关稳压器却优于连续稳压器。

下面的连续开关稳压器<sup>[3]</sup>（图1）兼有连续直流稳压器和开关直流稳压器两者的主要优点。当负载  $R_H$  和输入电压  $U_{BX}$  变化时，调节晶体管  $T_P$  的电流  $i_1$  保持最小，且恒定。负载电流  $i_H = i_2 - i_1$ ，式中的  $i_1$  为调节晶体管的电流平均值， $i_2$  为扼流圈的电流平均值。

要使负载变化时负载上的电压不变，必须将  $i_H$  变到值  $\Delta i_H = \Delta (i_2 - i_1)$ 。如果  $i_1$  = 常量，则  $\Delta i_H = \Delta i_2$ 。要使调节晶体管  $T_P$  的电流在  $R_H$  或  $U_{BX}$  改变时保持不变，就必须使  $i_H$  和  $i_2$  的增量自动相等，这由具有一定精度的  $i_1$  双位稳流器通过调节  $i_2$  来实现。

稳压器以下述方式工作。输入电压接入时，开关  $K$  闭合，负载电压即增大到分压器和基准电压  $U_0$  所规定的值。在输出电压增长到规定值期间， $T_P$  截止。输出电压的继续增

\* В. Е. КИТАЕВ, Б. В. ГОРБАЧЕВ: “Непрерывноключевой стабилизатор постоянного напряжения”, Радиотехника, 1973, №3, стр. 85~90。李光元译，杨鸿君校。

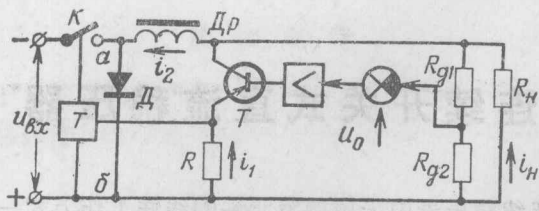


图1 连续开关式稳压器原理图

大导致  $T_p$  回路中  $i_1$  的出现和增长。 $i_1$  增大到  $i_1 = i_{cp}$  时，处于稳定平衡状态的触发器  $T$  起动。开关  $K$  断开，扼流圈  $\Delta_P$  通过整流二极管  $D$  开始对负载放电。电流  $i_2$  和输出电压减小， $i_1$  开始减小，而当  $i_1 = i_{opt}$  时，触发器  $T$  释放。开关  $K$  闭合， $i_2$  和输出电压增大。这一工作循环过程重复进行，因而在稳压器中产生稳定的自振。

$i_H$  和  $U_{BX}$  的变化由开关  $K$  的闭合持续时间的变化以及开关频率的变化来抵消。 $i_1$  的大小为触发器  $T$  的起动阈和释放阈所限定，实际上是固定不变的。各个电流及  $U_{BX}$  的曲线见图 2。

分析稳压器时，假定全部晶体管（开关  $K$  除外）都是无惰性的； $\Delta_P$  的电感是固定的； $K$  和  $D$  的电阻包括在扼流圈的有效电阻  $R_{\Delta P}$  之内，而这些元件上的剩余电压与扼流圈上的电压相比，数值很小，可以忽略不计。 $K$  和  $D$  的惰性必须考虑，因为它是产生双位稳流管调节误差的原因，因而也是输出电压产生变化的原因。

用分压器-调节三极管的回路参数来表示输出电压：

$$U_{\text{вых}} = \frac{U_0}{\alpha} + \frac{i_1}{K_i S_y \alpha} \quad \text{式中的 } U_0 \text{ 是基准电压; } \alpha \text{ 是分压器传输系数; } S_y \text{ 是放大器的互导; } K_i \text{ 是 } T_p \text{ 的电流放大系数。}$$

$$U_{BbIX} = E + i_1 r_i \text{ 式中的 } E = \frac{U_o}{\alpha} \text{ 是等效电动势; } r_i = \frac{1}{K_i S_y \alpha}$$

是其内阻。

此时，上述稳压器的等效电路如图 3 所示。

在  $t_0$  时，开关晶体管 K 导通，二极管 D 截止，因而稳压管的电流  $i_1$  增大到触发器 T 释放时的电流值。为脉冲时间主要部分的时间间隔  $t_0 - t_2$  列出下列方程：

$$\left. \begin{aligned} L \frac{di_2}{dt} + i_2 R_{DP} + (i_2 - i_1) R_H &= U_{BX}, \\ (i_2 - i_1) R_H - ir_i &= E. \end{aligned} \right\} \quad (1)$$

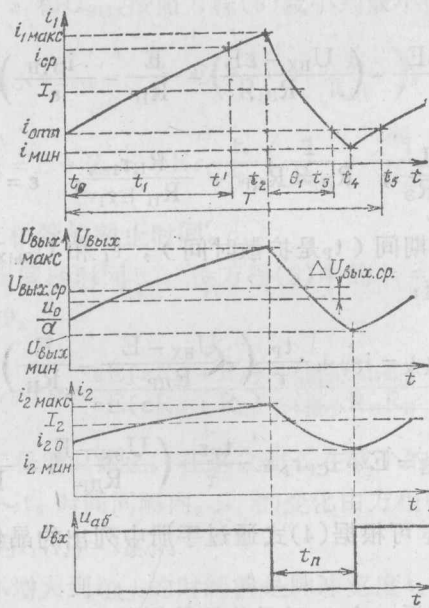


图 2 波形图

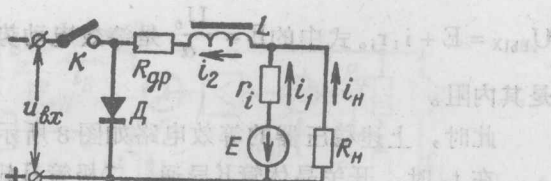


图3 稳压器的等效电路

解方程(1)得  $i_1$  和  $i_2$

$$i_1 = \varepsilon \left( \frac{U_{bx} - \varepsilon E}{R_\vartheta} - \frac{E}{R_H} \right) \left( 1 - e^{-\frac{t}{\tau}} \right) + i_{OT\Pi} e^{-\frac{t}{\tau}},$$

$$i_2 = \frac{U_{bx} - \varepsilon E}{R_\vartheta} - \left( \frac{U_{bx} - \varepsilon E}{R_\vartheta} - \frac{E}{R_H} - \frac{i_{OT\Pi}}{\varepsilon} \right) e^{-\frac{t}{\tau}}, \quad (2)$$

式中,  $\tau = \frac{L}{R_\vartheta}$ ;  $R_\vartheta = R_{DP} + \frac{R_H r_i}{R_H + r_i}$ ;  $\varepsilon = \frac{R_H}{R_H + r_i}$ 。

在  $t_1 + t_P$  期间 ( $t_P$  是扩散时间),  $i_1$  和  $U_{bx}$  根据(2)式增大到最大值:

$$i_{\text{最大}} = i_{CP} + \frac{t_P}{\tau} \left( \frac{U_{bx} - E}{R_{DP}} - \frac{E}{R_H} \right), \quad (3)$$

$$U_{\text{最大输出}} = E + i_{CP} r_i + \frac{t_P r_i}{\tau} \left( \frac{U_{bx} - E}{R_{DP}} - \frac{E}{R_H} \right). \quad (4)$$

式中的  $t_P$  可根据(4)式通过手册中列出的晶体管参数  $f_a$  求出。

扩散结束后, 在  $t_2$  时晶体管 K 截止, 劀流圈上的自感电动势改变符号, D 实际马上导通;  $i_1$ 、 $i_2$  和  $U_{bx}$  开始减小。

在  $t_2 \sim t_4$  间歇时间间隔内,  $i_1$  和  $i_2$  的变化由下式确定:

$$\begin{cases} -L \frac{di_2}{d\theta} = (i_2 - i_1) R_H + i_2 R_{DP}, \\ (i_2 - i_1) R_H - i_1 r_i = E, \quad \theta = t - t_2. \end{cases}$$

考虑到起始条件  $i_1(\theta=0) = i_{\text{最大}}$ , 由上式得:

$$\begin{aligned} i_1 &= \varepsilon \left[ \left( \frac{E}{R_H} + \frac{i_{\text{最大}}}{\varepsilon} + \frac{\varepsilon E}{R_\Theta} \right) e^{-\frac{\theta}{\tau}} - \frac{E}{R_H} - \frac{\varepsilon E}{R_\Theta} \right], \\ i_2 &= \left( \frac{E}{R_H} + \frac{i_{\text{最大}}}{\varepsilon} + \frac{\varepsilon E}{R_\Theta} \right) e^{-\frac{\theta}{\tau}} - \frac{\varepsilon E}{R_\Theta}. \end{aligned} \quad (5)$$

在  $\theta_1 + t_B$  时,  $i_1$  和  $U_{BBLX}$  按照方程(5)减小到最小值:

$$i_{\text{最小}} = i_{\text{on}} - \frac{t_B}{\tau} E \left( \frac{1}{R_H} + \frac{1}{R_{DP}} \right), \quad (6)$$

$$u_{\text{最小输出}} = E + i_{\text{on}} r_i - E r_i \frac{t_B}{\tau} \left( \frac{1}{R_H} + \frac{1}{R_{DP}} \right), \quad (7)$$

式中的  $t_B$  是二极管的截止时间。

为了求出间歇时间  $t_n$ , 设方程(5)中的  $i_1 = i_{\text{最小}}$ , 解出方程(5)中的  $\theta$ :

$$t_n = r \ln \frac{\varepsilon E (\varepsilon R_H + R_\Theta) + i_{\text{最大}} R_H R_\Theta}{\varepsilon E (\varepsilon R_H + R_\Theta) + i_{\text{最小}} R_H R_\Theta}. \quad (8)$$

在  $t_4$  时二极管截止, 在这之前正在减小的电流  $i_2$  开始增大。在  $t_4 \sim t_5$  时间间隔内,  $i_1$  的变化由方程(2)求得, 设其起始条件为  $i_1(t_4) = i_{\text{最小}}$ 。

$i_1$  从  $i_{\text{最小}}$  增大到  $i_{\text{最大}}$  的时间就是脉冲宽度  $t_n$ 。为求出  $t_n$ , 从方程(2)中解出  $i_1 = i_{\text{最大}}$  时的  $t$ :

$$t_n = \tau \ln \frac{(U_{BX} - \varepsilon E) R_H - [E + (R_H + r_i) i_{\text{最小}}] R_\Theta}{(U_{BX} - \varepsilon E) R_H - [E + (R_H + r_i) i_{\text{最大}}] R_\Theta}. \quad (9)$$

$t_0 \sim t_5$  时间间隔是自振周期  $T$ , 可从(8)和(9)式求得:

$$T = \tau \ln \frac{\left( \frac{U_{BX} - E}{R_{DP}} - \frac{E}{R_H} - i_{\text{最小}} \right)}{\left( \frac{U_{BX} - E}{R_{DP}} - \frac{E}{R_H} - i_{\text{最大}} \right)}$$

$$\frac{\left( \frac{E}{R_H} + \frac{E}{R_{DP}} + i_{\text{最大}} \right)}{\left( \frac{E}{R_H} + \frac{E}{R_{DP}} + i_{\text{最小}} \right)} \quad (10)$$

由此可见, 自振频率取决于触发器的起动阈和释放阈、扼流圈的参数、输入和输出电压值和负载值。

求出电流  $T_P$  的平均值:

$$i_1 = \frac{1}{2} \left[ i_{cp} + \frac{t_p}{\tau} \left( \frac{U_{BX} - E}{R_{DP}} - \frac{E}{R_H} \right) + i_{optn} - \frac{t_s}{\tau} \left( \frac{E}{R_H} + \frac{E}{R_{DP}} \right) \right] \quad (11)$$

从(11)可见,  $I_1$  取决于所选触发器  $T$  的起动阈和释放阈, 而在动力计算时可以认为它不受负载和电源扰动的影响, 因为  $\tau \gg t_p$ ,  $\tau \gg t_s$ , 即:

$$i_1 = \frac{1}{2} (i_{cp} + i_{optn}) \quad (12)$$

固定误差部分由下式求出:

$$\Delta U_{\text{VYX} \cdot CP} = \frac{r_i}{2} \left[ i_{cp} + \frac{t_p}{\tau} \left( \frac{U_{BX} - E}{R_{DP}} - \frac{E}{R_H} \right) + i_{optn} - \frac{t_s}{\tau} \left( \frac{E}{R_H} + \frac{E}{R_{DP}} \right) \right] \quad (13)$$

从(13)式求出 $U_{BX}$ 的绝对和相对稳定系数以及稳压器的内部阻抗：

$$G' = \frac{\partial u_{\text{вых}}}{\partial u_{\text{bx}}} = \frac{t_p}{2LS_yK_i\alpha};$$

$$G = \frac{U_{\text{bx}}}{E} - \frac{\partial u_{\text{вых}}}{\partial u_{\text{bx}}} = \frac{U_{\text{bx}}}{U_0} - \frac{t_p}{2LS_yK_i};$$

$$R_i = \frac{\partial u_{\text{вых}}}{\partial i_H} = -\frac{t_b + t_p}{2\tau\alpha S_y K_i}.$$

由此可得出结论，比值 $t_p/\tau$ 总是小的， $r_i = \frac{1}{\alpha S_y K_i}$ 也小得可略去不计，所以所述稳压器极易保证 $u_{\text{вых}}$ 有高度的稳定性。

从(4)式和(7)式求出输出电压的脉动幅度为

$$U_m = \frac{1}{2\alpha S_y K_i} \left[ i_{cp} + \frac{t_p}{\tau} \left( \frac{U_{\text{bx}} - E}{R_{DP}} - \frac{E}{R_H} \right) - i_{opt} + \frac{t_b}{\tau} \left( \frac{E}{R_H} + \frac{E}{R_{DP}} \right) \right].$$

输出电压的脉动取决于触发器的起动阈和释放阈的差值以及分压器-调节元件电路的放大系数，而与输入电压和负载无关，因为 $i_{cp} - i_{opt} \gg \frac{t_p}{\tau} \left( \frac{U_{\text{bx}} - E}{R_{DP}} - \frac{E}{R_H} \right) + \frac{t_b}{\tau} \left( \frac{E}{R_H} + \frac{E}{R_{DP}} \right)$ 。

为稳压器反馈电路选择足够大的放大系数，就能获得脉动很小的输出电压。为此，按(10)式增加扼流圈以减小触发器的滞后范围的办法收效甚微。

考虑到(12)式，稳压管的损耗可表示为

$$P_{Tp} \approx \frac{1}{2} E (i_{cp} + i_{on}), \quad (14)$$

而效率为

$$\eta \approx \frac{P_{\text{вых}}}{P_{\text{вых}} + P_{\text{кл}} + P_{Tp}}, \quad (15)$$

式中的  $P_{\text{вых}}$  是稳压器的输出功率， $P_{\text{кл}}$  是开关稳压器的损耗<sup>[2]</sup>。

从(15)式看出， $P_{Tp}$  不大时稳压器的效率接近于开关稳压器的效率。由(14)式可知，当触发器的起动阈和释放阈选择适当时，低压稳压器的稳压管损耗就小。如果稳压器的输出电压很大，通常可用调节连续并联稳压器的方法来减小稳压管的电压<sup>[5]</sup>。

以上述关系式为基础，对图4 稳压器进行了计算和试验检查。稳压器的输出电压为15伏，最大负载电流为10安，输出电压的脉动幅度≈0.5毫伏，有效系数≈0.75，电源电压

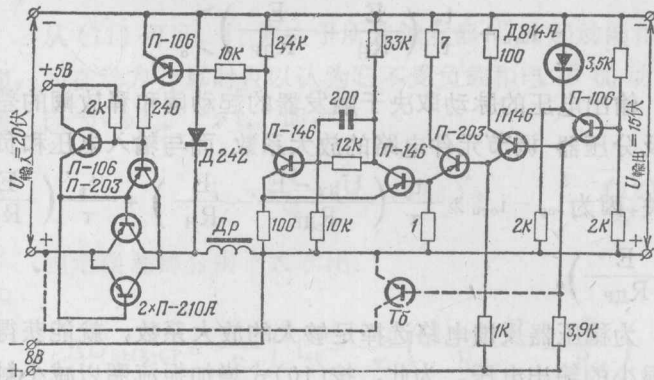


图4 连续开关式稳压电路

的变化为±10%。接入旁路晶体管（图中虚线所示），可大大提高稳压器的动态准确性和动作速度。稳压器的计算和试验数据见下表：

I <sub>H</sub> [安]	f [赫]		I <sub>1</sub> [安]		U <sub>m</sub> [毫伏]		η		G, R <sub>1</sub> , U <sub>вых.ср</sub>
	计算	试验	计算	试验	计算	试验	计算	试验	
0.5	1440	1470	0.237	0.236	4.82	4.85	0.6	0.55	G=0.16×10 <sup>-3</sup> 欧(计算)
1	1420	1450	0.236	0.235	4.8	4.83	0.7	0.65	R <sub>1</sub> =4×10 <sup>-5</sup> 欧(计算)
2	1390	1410	0.235	0.234	4.78	4.82	0.76	0.73	U <sub>вых.ср</sub> =15.325伏(试验)
3	1350	1360	0.234	0.233	4.76	4.8	0.78	0.76	
4	1300	1310	0.233	0.232	4.74	4.78	0.785	0.77	
5	1253	1255	0.232	0.231	4.72	4.75	0.785	0.78	
6	1208	1210	0.231	0.23	4.7	4.73	0.785	0.78	
7	1162	1170	0.230	0.23	4.66	4.7	0.78	0.77	
8	1108	1110	0.229	0.228	4.64	4.67	0.77	0.77	
9	1052	1050	0.228	0.227	4.62	4.65	0.76	0.76	
10	998	1000	0.227	0.228	4.6	4.63	0.76	0.75	

表注：L<sub>др</sub>=10<sup>-2</sup>亨；R<sub>др</sub>=0.2欧；S<sub>y</sub>α=8.3×10<sup>-3</sup>安/伏；K<sub>i</sub>≈3300；t<sub>p</sub>=80微秒；t<sub>b</sub>=20微秒；i<sub>cр</sub>=0.32安；i<sub>отп</sub>=0.145安；U<sub>вх</sub>=20伏。

**结论：** 1. 稳压器的效率取决于开关电路的损耗，因而非常接近于开关稳压器的效率。

2. 稳压器反馈回路中的增益足以使输出端的脉动保持非常微小。

3. 负载和电源电压的变化实际不会影响输出电压。

稳压器主要要求经济、脉动小和输出功率大时，最好用连续开关稳压器来稳定直流电压。

#### 参 考 文 献

С1 С. Д. Додик. Полупроводниковые стабилизаторы постоянного напряжения и тока. М., «Советское радио», 1962.

(下接第14页)

# 用低压齐纳二极管构成的

## 高压稳定电路\*

《设计》第 01 号 01×81.0=0 33.0 8.038.1-58.1 823.0122.0073.054.2.3

高压电源稳压器可由用作基准电压电源的低压齐纳管制成。这种稳压电路的输出可在 50~250 伏之间调节，调节精度可达 0.5%。由于供给运算放大器的低压正、负反馈电不易获得而不能采用运算放大器时，这种电路格外有益。

齐纳二极管  $D_1$  供给基准电压。齐纳管应按要求的温度系数及所需的最大电流来选用。场效应管允许电阻  $R_1$  及  $R_2$  具有高的阻值，从而把输出负载保持到最小值，并可用低瓦电阻。如果这些电阻直接连接晶体管  $Q_2$  的基极，则这个电路调节就差，且因  $Q_2$  的低输入阻抗而有一个高的动态输出阻抗。

稳压器的输出电压可写成

$$V_o = (V_{D1} + V_{BE} + V_{GS}) (R_1 + R_2) / R_1.$$

晶体管  $Q_2$  的开路增益等于 67 分贝，它是场效应管互导与电路负载阻抗的函数。稳压器的反馈系数  $\beta$  为

$$\beta = R_1 / (R_1 + R_2),$$

式中的  $R_2 = 9 R_1$ 。

\* G. COERS: "Regulating high voltages with low-voltage zeners", Electronics, Vol. 46, No. 13, pp. 113~114 (1973). 杨子梅译，李政校。

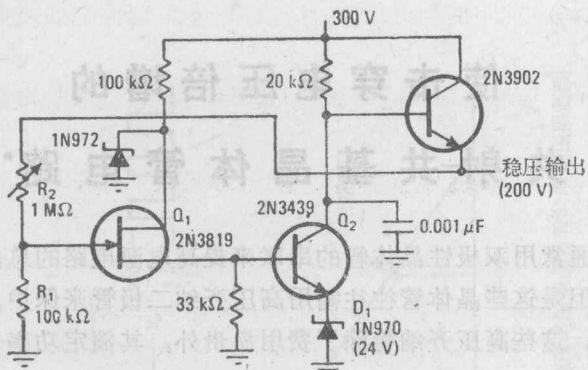


图1 稳压器。高压电源稳压器以0.5%的典型调节精度产生50~250伏的输出。低压齐纳管D<sub>1</sub>提供基准电压，从而确定了电路的电流输出及其温度系数。场效应管Q<sub>1</sub>允许R<sub>1</sub>及R<sub>2</sub>使用高阻值低瓦数的电阻器，从而把负载减到最小。

### 稳压器的性能

输入电压	输出电压	负载电流	输出电压
270伏	199.2伏	0毫安	200.3伏
300伏	200.4伏	50毫安	200.0伏
330伏	201.2伏	100毫安	199.5伏

$\Delta = 30 \text{ 伏}$

闭路电压增益等于20分贝。可表示为

$$A_{Vf} = A V_o / (1 - A V_o \beta)$$

因而反馈增益为

$$A_{Vf} = 67 - 20 = 47 \text{ 分贝。}$$

# 使击穿电压倍增的 共射-共基晶体管电路\*

通常用双极性晶体管的串联来提高电源电路的总击穿电压，但是这些晶体管往往需用高压齐纳二极管来保护。一般的说，这些高压齐纳管除了费用昂贵外，其额定功率也是不高的。

用饱和的共射-共基开关可有效地使晶体管击穿电压倍增，而不需用昂贵的齐纳管。用了350伏晶体管共射-共基开关可产生600伏的矩形正脉冲。对于附加的负载保护来说，用并联比串联要好。

在输出电压  $V_o$  比电源电压的一半 ( $V_{cc}/2$ ) 还要大的工作区域中，该开关的工作如同一个常规共射-共基放大器，晶体管  $Q_1$  及  $Q_2$  的集电极电流相等。 $Q_2$  的基极电压决不会超过  $V_{cc}/2$  (除非  $Q_2$  的反向集电极饱和电流  $I_{CBO}$  影响变得很显著)，这是由于用两个阻值相同的偏压电阻构成了分压器的缘故。因而每个晶体管的最大压降受到有效的限制，并省掉了齐纳二极管钳位。

当负载电流  $I_{L1}$  超过图示静负载线上的中点电流值时，晶体管  $Q_2$  饱和，而晶体管  $Q_1$  变成唯一的控制元件。开关的负载电阻现在就是负载电阻本身与  $1/2$  偏压电阻的并联。

\* T. UHLER: "Doubling breakdown voltage with cascoded transistors", Electronics, Vol. 46, No. 1, p. 102 (1973)。杨子梅译，李洪福校。

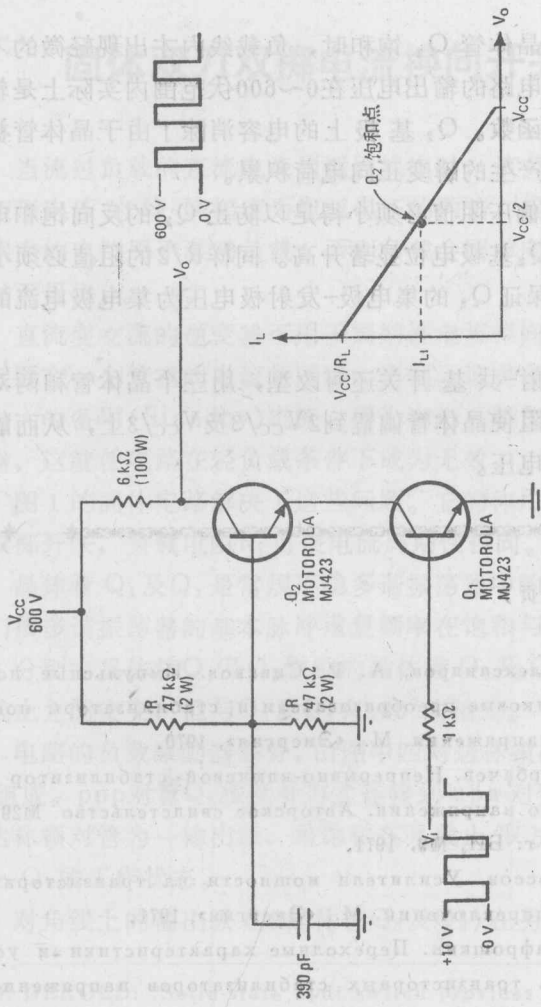


图 1 共射-共基晶体管产生600伏脉冲，而无需保护用的高价齐纳管。偏压电阻把晶体管的端电压限制到  $V_{cc}/2$ 。 $V_o$  大于  $V_{cc}/2$  时，晶体管  $Q_1$  及  $Q_2$  的工作如同常规共射-共基放大器。 $V_o$  小于  $V_{cc}/2$  时， $Q_2$  饱和，只有  $Q_1$  决定着负载电流

图 1